

Член-корреспондент АН СССР В. Г. ЛЕВИЧ, Н. Г. МАЗУР, В. С. МАРКИН

БЛОКИРОВАНИЕ ИМПУЛЬСА НЕОДНОРОДНОСТЬЮ  
В ЭЛЕКТРОХИМИЧЕСКОЙ МОДЕЛИ НЕРВА

В последнее время появились работы <sup>(1)</sup>, посвященные аналитическому изучению проведения нервного импульса по неоднородному волокну в модели с включенными источниками тока <sup>(2)</sup>. Аналогичную задачу интересно рассмотреть и для различных физических моделей нервного волокна и, в частности, для модели Лилли — Бонхеффера <sup>(3-5)</sup>, учитывая конкретные физико-химические характеристики. Модель Лилли представляет собой железную проволоку, находящуюся в трубке с крепкой азотной кислотой. В этой модели было изучено проведение импульса по гладкому <sup>(6)</sup> и миелинизированному <sup>(7)</sup> волокну. Ниже исследуется движение импульса активации в неоднородной модели Лилли и результаты сравниваются с экспериментальными данными <sup>(8)</sup>.

1. Скачкообразная неоднородность

Состояние системы описывается потенциалом  $\varphi(x, t)$ , долей свободной от пассивирующей пленки окисла поверхности  $a(x, t)$  и концентрацией  $c(x, t)$  одного из продуктов реакции — азотистой кислоты. В данной задаче можно пренебречь изменением последней величины и положить  $c(x, t) = c_0 = \text{const}$ , поскольку изменение  $c(x, t)$  оказывается лишь в идущей далеко позади хвостовой зоне (в процессе репассивации).

Изменение потенциала и доли активной поверхности определяется уравнениями

$$\frac{\partial^2 \varphi}{\partial x^2} + R(j_{\text{ж}} + j_{\text{пл}} + j_{\text{к}}) = 0, \quad (1)$$

$$\frac{\partial a}{\partial t} + \frac{1}{Q} j_{\text{пл}} = 0, \quad (2)$$

где  $R = R_1 = \rho \sigma_1 / S_1$  при  $x < 0$  и  $R = R_2 = \rho \sigma_2 / S$  при  $x > 0$ . Буквами  $\sigma_{1,2}$  и  $S_{1,2}$  обозначены, соответственно, периметр сечения проволоки и площадь сечения электролита в трубке. Иными словами, предполагается, что неоднородность локализована в точке  $x = 0$ .

Выражения для эквивалентных токов процессов активного растворения железа, разрушения и образования пассивирующей пленки и восстановления азотной кислоты до азотистой имеют вид (в линейной аппроксимации)

$$j_{\text{ж}} = A(\varphi_i - \varphi)a;$$
$$j_{\text{пл}} = A \cdot \begin{cases} (\varphi_* - \varphi)(1 - a) & \text{при } \varphi > \varphi_*, \\ (\varphi_* - \varphi)a & \text{при } \varphi < \varphi_*; \end{cases} \quad (3)$$
$$j_{\text{к}} = \begin{cases} 0 & \text{при } \varphi = 0, \\ -Jc_0 & \text{при } \varphi > 0. \end{cases}$$

Пороговый потенциал  $\varphi_*$  характеризуется тем, что при  $\varphi > \varphi_*$  происходит разрушение пленки, а при  $\varphi < \varphi_*$  — ее образование.

Цель задачи — выяснение условий, при которых импульс активации блокируется неоднородностью. На этот вопрос можно ответить, исследуя стационарные состояния системы.

Из условия  $\partial a / \partial t = 0$ , с учетом (2) и (3), легко получается общий вид стационарного решения: либо  $a = 0$  и  $\phi < \phi_*$ , либо  $a = 1$  и  $\phi > \phi_*$ .

Будем для определенности рассматривать импульс, приходящий слева. В соответствии с условием  $c(x, t) = c_0$  (отсутствие репассивации) он представляет собой просто волну активации. Ясно, что из такого импульса могут развиваться при  $t \rightarrow \infty$  стационарные состояния двух типов: либо  $a = 1$ , что соответствует проходу импульса, либо

$$a = \begin{cases} 1 & \text{при } x < l, \\ 0 & \text{при } x > l, \end{cases} \quad (4)$$

что отвечает блокированию (остановке фронта импульса в точке  $x = l$ ).

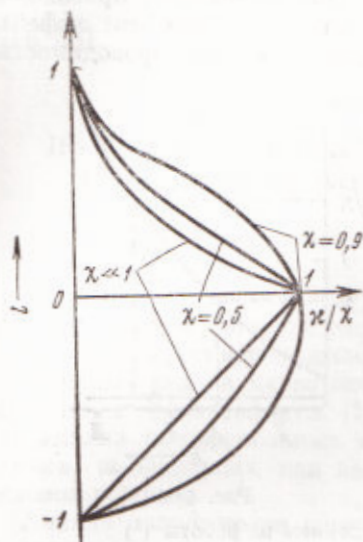


Рис. 1

Рис. 1. Зависимость  $l(\chi)$  для некоторых значений параметра  $\chi$ . Для удобства при  $l > 0$  и  $l < 0$  выбраны разные (характерные для каждой области) единицы измерения длины

Рис. 2. Локальные токи в импульсе активации. 1 — фронт импульса далеко от стыка, 2 — фронт импульса в районе стыка

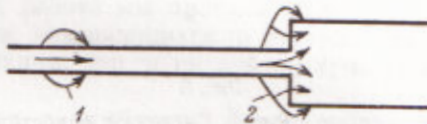


Рис. 2

Метод решения задачи состоит в следующем. Если подставить  $a$  в виде (4) в уравнение (1), то получится линейное уравнение с кусочно-постоянными коэффициентами. Кроме условия ограниченности  $\phi$  и непрерывности вместе с первой производной, выделяющего определенное решение этого уравнения при любом  $l$ , имеется еще условие  $\phi(l) = \phi_*$ . Это «лишнее» условие определяет  $l$  в зависимости от параметров задачи. Соответствующие формулы довольно громоздки, поэтому указанную зависимость удобно выразить графически. На рис. 1 показан график  $l$  как функции геометрического параметра  $\chi = \sigma_1 S_1 / \sigma_2 S_2$  при нескольких значениях параметра рефрактерности  $\chi = 2A\phi_* J_{C_0} / [A(\phi_* - \phi_*) - J_{C_0}]^2$ , который в реальных условиях гораздо меньше единицы. Для наглядности, можно считать, что трубка с кислотой много толще проволоки, так что  $S_1 / S_2 \approx 1$ . Тогда  $\chi$  будет просто отношением диаметра проволоки левее неоднородности к ее диаметру правее неоднородности.

Из рис. 1 видно, что при  $\chi > \chi$  точки  $l(\chi)$  не существует, т. е. импульс минует неоднородность. Наоборот, при  $\chi < \chi$ , т. е. когда правая часть проволоки в достаточное число раз толще левой, существуют два значения  $l(\chi) : l_- < 0$  и  $l_+ > 0$ . Можно показать, что импульс останавливается в  $l_-$ , не доходя до стыка тонкой и толстой проволок. Это связано с тем, что стационарное состояние с  $l = l_-$  устойчиво, а с  $l = l_+$  — неустойчиво.

Физически блокирование импульса объясняется тем, что по мере его приближения к неоднородности подпороговая зона наползает на более толстую проволоку и потребление тока в ней растет, так как он вынужден распределяться по большей площади. В то же время зона активации, находящаяся на тонкой проволоке, генерирует неизменный активирующий ток (рис. 2). При достаточной разнице в диаметрах активирующего тока может не хватать и импульс остановится.

## 2. Неоднородность с электрохимически инертным промежутком

В реальных условиях параметр  $\chi$  имеет порядок величины  $10^{-4}$ . Поэтому блокирование будет наблюдаться, если одна из половин проволоки в десятки тысяч раз толще другой, т. е. в реальных условиях этот эффект обнаружить практически нельзя. Однако односторонняя проводимость

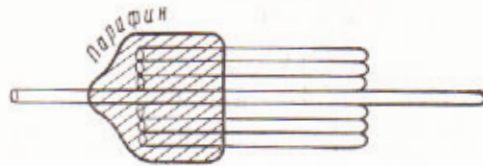


Рис. 3

Рис. 3. Система с односторонним проведением из работы (8)

Рис. 4. Зависимость критического отношения толщины от  $h$  и области двух- и односторонней проводимости и отсутствия проводимости

наблюдается в несколько модифицированной системе, а именно, если место стыка покрыть изолятором. На рис. 3 изображена модель синапса из работы (8), представляющая собой длинную проволоку, к которой прикреплен пучок из нескольких коротких проволок. Один конец пучка залит парафином. Для теоретического расчета такой модели применимы рассуждения предыдущего пункта с той лишь разницей, что в промежутке  $(0, h)$  следует положить  $j_{\text{в}} + j_{\text{пл}} + j_{\text{к}} = 0$ . Этот промежуток соответствует части проволоки, залитой парафином. В результате расчета получаются кривые  $\chi(\kappa)$ , аналогичные кривым рис. 1. Однако теперь максимальное значение  $\chi$  при котором еще возможно блокирование, зависит от  $h$ :

$$\chi_{\text{кр}} = \chi(1 + h\sqrt{R_t A})^2. \quad (5)$$

Из этой формулы видно, что блокирующее действие неоднородности быстро усиливается с удлинением инертного промежутка. Так как для обычно применяемых проволок характерная длина  $(R_t A)^{-\frac{1}{2}}$  есть величина порядка 0,1 см, то при наличии инертного участка длиной в несколько сантиметров получаются значения  $\chi_{\text{кр}}$ , ненамного меньшие единицы. Поэтому в системе, показанной на рис. 3, наблюдается блокирование импульса, идущего слева, уже при небольшом количестве проволок в пучке.

С помощью графика зависимости (5), приведенного на рис. 4, легко построить области значений  $h$ , отвечающие двухсторонней (область I) и односторонней (область II) проводимости, а также отсутствию проводимости (область III). Для этого достаточно учесть, что для импульса, приходящего справа, величина  $\chi$  заменяется на  $1/\chi$ .

Институт электрохимии Академии наук СССР  
Москва

Поступило  
4 И 1971

### ЦИТИРОВАННАЯ ЛИТЕРАТУРА

- <sup>1</sup> В. С. Маркин, В. Ф. Пастушенко, Биофизика, 14, 316, 517 (1969). <sup>2</sup> В. С. Маркин, Ю. А. Чизаджев, Биофизика, 12, 900 (1967). <sup>3</sup> R. S. Lillie, Biol. Rev. Cambr. Phil. Soc., 11, 181 (1936). <sup>4</sup> К. Бонхеффер, Тр. IV совещ. по электрохимии, Изд. АН СССР, 1959, стр. 579. <sup>5</sup> Г. И. Баренблatt, В. М. Ентов, Р. Л. Саганик, ПММ, 29, 977 (1965). <sup>6</sup> В. Г. Левич, Н. Г. Мазур, В. С. Маркин, ДАН, 198, № 4 (1971). <sup>7</sup> В. Г. Левич, Н. Г. Мазур, В. С. Маркин, ДАН, 195, 206 (1970). <sup>8</sup> К. Yamagawa, Japan. Med. J., 2, 38 (1949).